

A. D. Грузин, A. A. Фомин

## МОДЕЛИРОВАНИЕ ДИНАМИКИ ТЕПЛОВОГО НАГРУЖЕНИЯ ПОЛОГА ЛЕСА ПРИ ПЕРЕХОДЕ НИЗОВОГО ПОЖАРА В ВЕРХОВОЙ

Вопросы математического моделирования лесных пожаров в последние годы часто обсуждаются в литературе [1—3]. Теоретически наиболее исследованы вопросы моделирования распространения верховых пожаров [3]. Не менее важно изучение собственно процесса возникновения верхового пожара, т. е. перехода горения из нижнего яруса леса в крон деревьев. Анализ экспериментальных исследований [4—6] показывает, что при прогнозировании и профилактике перехода низового лесного пожара в верховой, в частности, необходимо изучение тепло- и мас-сопренося продуктов горения низового пожара. В [4] даются оценки характерных времен различных стадий зажигания элементов полога, из которых следует, что инертный прогрев и сушка элементов, предшествующих газификации и воспламенению газовой смеси, наиболее продолжительны. Особенно большую роль при зажигании растительных материалов играет стадия сушки [4].

При распространении низового лесного пожара горючие элементы полога леса находятся в зоне его воздействия ограниченное время [5], в связи с чем для оценки возможности перехода низового пожара в верховой требуется детальное исследование прогрева и сушки полога в условиях воздействия низового пожара.

Будем моделировать низовой пожар плоским поверхностным источником тепла и массы радиусом  $\Delta_\Gamma$ . Считаем, что физические свойства газообразных продуктов горения низового пожара близки свойствам воздуха [1—3]. Полог леса отстоит от очага низового пожара на высоту  $h_2$  и включает наряду с газовой к-фазу, состоящую из сухого органического вещества и влаги [3] и представляющую собой неподвижную среду из одинаковых элементов, равномерно распределенных и хаотично ориентированных в пространстве. Система координат, взаимное расположение очага пожара и полога леса, а также структура течения показаны на рис. 1.

Рассмотрим молодые сосновые леса, наиболее подверженные верховым пожарам. Такие леса характеризуются высотой деревьев 2—5 м, высокими значениями удельной поверхности з лесных горючих материалов (ЛГМ) ( $s \approx 10 \div 20 \text{ м}^2/\text{м}$ ). В них практически отсутствуют горизонтальные движения воздуха (ветер), в связи с чем естественно допущение — задача рассматривается в осесимметричной постановке. Течение продуктов горения имеет развитый турбулентный характер. По причинам, указанным выше, до начала газификации ЛГМ можно не учитывать физико-химические превращения. Это не относится к сушке, которую описываем подобно [1], где обоснована возможность использования аналога закона Герца — Кнудсена и даны эффективные кинетические константы. Поскольку при переходе низового пожара в верховой лимитирующими являются стадии прогрева и сушки ЛГМ, то использовавшееся в [1, 3] приближение одинаковости температуры газовой и конденсированной фаз в данном случае требует проверки. Определенную

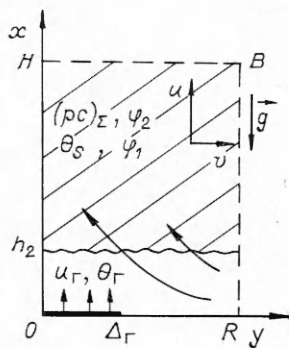


Рис. 1. Схема взаимодействия очага низового пожара с пологом леса.

роль в процессе перехода может играть излучение пламени низового пожара [5]. При оценке роли излучения считаем газовую фазу прозрачной [1]. Наличие дисперсной фазы (дыма) в пологе обусловлено его поступлением из очага низового пожара и дымообразованием из ЛГМ полога при пиролизе. Так как данное исследование ограничено лишь изучением процесса прогрева и сушки (которые предшествуют пиролизу), то дымообразование не учитывается. В данной работе рассматриваются лишь интенсивные низовые пожары, во фронте которых дымообразование минимально.

Ограничимся рассмотрением неподвижного очага низового пожара, мощность которого нарастает во времени и достигает стационарного значения за конечный промежуток времени. Очевидно, такое приближение моделирует более благоприятные условия для перехода низового пожара в верховой.

В настоящей работе сделана оценка влияния различных физических допущений, о которых говорилось выше, часто используемых при математическом моделировании лесных пожаров [1–3], на описание процесса перехода. Учет этих допущений приводит к соответствующим изменениям в математической постановке задачи. Поэтому представляется удобным вместо всех законов сохранения записать два обобщенных уравнения с последующей расшифровкой их членов для каждого уравнения (их всего 8) и каждого конкретного уровня моделирования (их всего 4).

**Модель 1.** Влага в пологе леса отсутствует. Температуры газовой и конденсированной фаз совпадают. Излучение от пламени низового пожара не учитывается.

**Модель 2.** Полог влажный; остальное аналогично модели 1.

**Модель 3.** Температуры газовой и к-фазы различны; остальное — как в модели 2.

**Модель 4.** Учитывается излучение от пламени; остальное аналогично модели 3.

Обобщенные безразмерные уравнения имеют следующий вид:

$$\frac{\partial \rho \Phi}{\partial t} + \frac{1}{x_2^{j-1}} \frac{\partial}{\partial x_j} (x_2^{j-1} \rho u_j \Phi) = \frac{1}{x_2^{j-1}} \frac{\partial}{\partial x} (x_2^{j-1} \tau_{\Phi j}) + S_{\Phi}, \quad j = 1, 2; \quad (1)$$

$$c_F \frac{\partial F}{\partial t} = S_F. \quad (2)$$

По повторяющимся индексам производится суммирование. Расшифровка членов уравнений (1), (2) приведена в табл. 1 и 2 соответственно.

Выписанную систему уравнений дополняют следующие соотношения [1, 7–9]:

$$\begin{aligned} \mu &= c_{\mu} \rho k^2 / \epsilon, \quad (\rho c)_{\Sigma} = c_1 \rho_1^0 \varphi_{1n} + c_2 \rho_2^0 \varphi_2, \\ W &= \rho_2^0 \text{Da}_1 \frac{\varphi_2}{\sqrt{1 + \Theta_s}} \exp \left( - \frac{E_i}{1 + \Theta_s} \right), \quad \alpha = \frac{\text{Nu}}{L_s \text{Pe}}, \\ \text{Nu} &= 2 + 0,31 \text{Re}_0^{0,58} + 0,27 \text{Re}_0^{0,54} \quad (\text{при } \text{Pr} = 0,72), \quad (3) \\ \text{Re}_0 &= \text{Re} |\vec{V}| \rho L_s, \\ E &= \frac{\epsilon_r \epsilon_s T_{\Pi}^4}{\pi \text{Bo}} \int_{S_t} K_s \frac{\cos \beta}{L^2} dS. \end{aligned}$$

В (3) использованы следующие обозначения:  $\epsilon$  — скорость диссиpации энергии турбулентности;  $c_1, c_2, \rho_1^0, \rho_2^0, \varphi_1, \varphi_2$  — теплоемкости, истинные плотности и объемные доли сухого органического вещества ЛГМ (индекс 1) и влаги (2);  $E_i$  — энергия активации процесса сушки;  $L_s, L$ ,  $L_s$  — характерный размер ЛГМ, расстояние между элементом излучающей поверхности и элементом полога леса, часть  $L$ , лежащая в пологе;  $\beta$  — угол между нормалью к поверхности пламени и направлением на

Таблица 1

Модель	$\Phi$	$\tau_\Phi;$	$s_\Phi$
1—4	1	0	0
	$u_i$	$\mu \left( \frac{\partial u_i}{\partial x_j} + \frac{\partial u_j}{\partial x_i} \right) - \frac{2}{3} \delta_{ij} (\mu \operatorname{div} \vec{V} + \rho k)$	$-\frac{\partial p}{\partial x_i} - S c_d \rho u_i  \vec{V}  + \delta_{ii} \frac{\rho_e - \rho}{Fr}$
	$k$	$\frac{\mu}{\sigma_k} \frac{\partial k}{\partial x_j}$	$P + G - \rho \varepsilon$
	$\varepsilon$	$\frac{\mu}{\sigma_\varepsilon} \frac{\partial \varepsilon}{\partial x_j}$	$\frac{\varepsilon}{k} [c_{\varepsilon 1} (P + G) (1 + c_{\varepsilon 3} R_T) - c_{\varepsilon 2} \rho \varepsilon]$
1	0	$\frac{\mu}{\sigma_\theta} \frac{\partial \theta}{\partial x_j}$	$-(\rho c)_\theta \frac{\partial \theta}{\partial t}$
	2	$\frac{\mu}{\sigma_\theta} \frac{\partial \theta}{\partial x_j}$	$-(\rho c)_\theta \frac{\partial \theta}{\partial t} - qW$
	3—4	$\frac{\mu}{\sigma_\theta} \frac{\partial \theta}{\partial x_j}$	$\alpha S(\theta_s - \theta)$

элемент полога;  $K_s$  — коэффициент ослабления излучения в пологе леса, выражение для которого получено на основе допущения о равномерном распределении и хаотичной ориентации элементов ЛГМ в пространстве;  $S_r$  — поверхность пламени;  $Fr$ ,  $Re$ ,  $Pe$ ,  $Bo$ ,  $Da_1$  — числа Фруда, Рейнольдса, Пекле, Больцмана и Дамкеллера. В качестве характерных величин при обезразмеривании математической постановки задачи выбраны радиус очага, параметры невозмущенной атмосферы, скорость оттока газа из очага пожара (вернее, величина ей пропорциональная, так что безразмерная скорость оттока — параметр задачи — имеет значение, существенно меньше единицы).

Начальные и граничные условия:

$$t = 0: u = v = \Theta = k = \varepsilon = 0, \rho = 1, \varphi_2 = \varphi_{2n};$$

$$t > 0: x = 0, y \leq \Delta_r: u = u_r, v = 0, \Theta = \Theta_r;$$

$$y > \Delta_r: u = v = \Theta = 0.$$

Увеличение мощности очага низового пожара моделировалось зависимостями

$$u_r = u_m f(t), \quad \Theta_r = \Theta_m f(t),$$

где  $f(t) = \exp(-1,45/t^{1.5})$ . Нетрудно видеть, что при  $t \approx 5,5$  значения  $u_r$  и  $\Theta_r$  достигают 90 % от своих максимальных величин. На границах  $x = H$  и  $y = R$  используются так называемые открытые граничные условия [10] для  $u$ ,  $v$ ,  $\Theta$ ,  $k$  и  $\varepsilon$ . Параметры турбулентности при  $x = 0$  рассчитываются из закона стенки с учетом шероховатости [11].

Задача решалась численно методом контрольного объема [12], конкретная реализация которого для рассматриваемого типа задач изложена, например, в [13].

Таблица 2

Модель	$F$	$c_F$	$s_F$
3	$\Theta_s$	$(\rho c)_\Sigma$	$\alpha S(\Theta - \Theta_s) - qW$
4	$\Theta_s$	$(\rho c)_\Sigma$	$\alpha S(\Theta - \Theta_s) - qW + E$
2—4	$\varphi_2$	$\rho_2^0$	$-W$

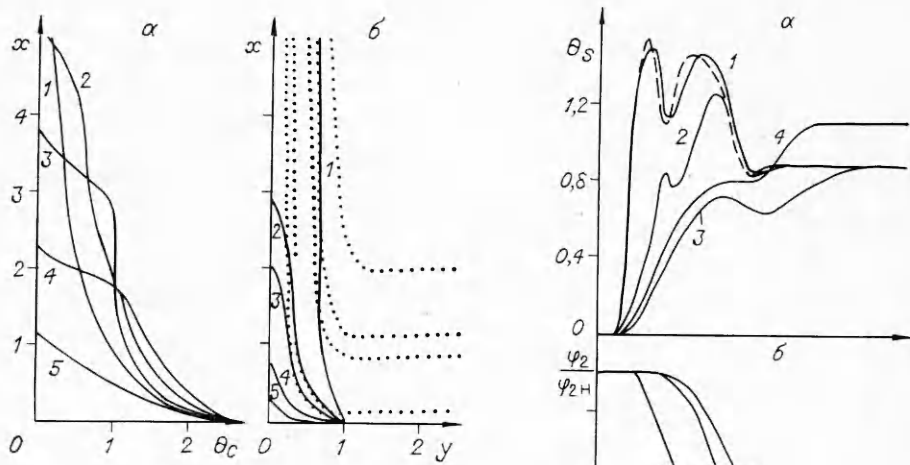


Рис. 2. Конвективная колонка в открытом пространстве.

а) динамика профиля перегрева на оси ( $t = 56$  — стационар (1), 12,5 (2), 10,5 (3), 8,2 (4) и 5,8 (5)); б) изотермы (—) и линии тока (···) при установлении ( $\theta = 0,1$  (1), 0,33 (2), 0,5 (3), 1 (4) и 1,5 (5)).

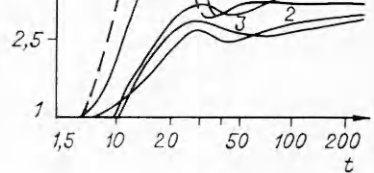


Рис. 3. Временные зависимости на оси колонки для различных моделей.

а) перегрев к-фазы; б) относительная объемная доля влаги на нижней границе полога леса; в) положение изотермы  $\Theta_s = 0,33$ . Номер кривой совпадает с номером модели. Штриховые линии — колонка в открытом пространстве.

Расчеты проводили при следующих значениях параметров:  $\Delta_r = 1$ ,  $h_2 = 1$ ,  $c_1 = 1,2$ ,  $c_2 = 4,2$ ,  $\rho_1^0 = 420$ ,  $\rho_2^0 = 840$ ,  $\varphi_{1H} = 2,4 \cdot 10^{-3}$ ,  $\varphi_{2H} = 7,9 \cdot 10^{-4}$ ,  $s = 12,7$ ,  $c_d = 0,03$ ,  $q = 8,3$ ,  $\varepsilon_1 = 20,5$ ,  $\varepsilon_r = 0,9$ ,  $\varepsilon_s = 0,6$ ,  $T_n = 4,2$ ,  $u_m = 0,1$ ,  $\Theta_m = 2,7$ ,  $Fr = 1$ ,  $Re = 2 \cdot 10^6$ ,  $Pe = 1,46 \cdot 10^5$ ,  $Bo = 2,66 \cdot 10^3$ ,  $Da_1 = 1,1 \cdot 10^4$ .

Приведенные безразмерные значения параметров соответствуют типичным данным по теплофизическим и пирологическим свойствам ЛГМ и структурным характеристикам полога леса [1]. Переход низового пожара в верховой есть следствие взаимодействия конвективной колонки над очагом пожара с элементами ЛГМ в пологе леса. Рассмотрим результаты расчета параметров конвективной колонки в открытом пространстве (рис. 2) как отправную точку исследований. Представленные на рис. 3, а зависимости перегрева к-фазы полога леса от времени характеризуют тепловую нагрузку на элементы ЛГМ в самом опасном в смысле перехода месте — на нижней границе полога на оси симметрии потока. Общая для всех четырех моделей немонотонность зависимостей объясняется высоким темпом нарастания мощности очага низового пожара, который приводит в начальные моменты времени к образованию полуизолированных термиков непосредственно над очагом. Дальнейшее всплытие этих термиков приводит к немонотонности прогрева газовой среды в фиксированных сечениях по высоте, что, в свою очередь, влечет немонотонность прогрева к-фазы.

Отметим близость результатов, полученных по модели 1, с результатами задачи о колонке в открытом пространстве. Наличие влаги в пологе (см. рис. 3, а, кривая 2) резко замедляет процесс прогрева, сглаживает немонотонность и несколько уменьшает максимум перегрева. Это объясняется, с одной стороны, возросшей теплоемкостью среды, с другой — поглощением тепла при испарении влаги. Однако стационарное

значение перегрева достигается практически в то же время, что и для штриховой кривой и 1, т. е. динамика теплового нагружения полога в моделях 1 и 2 почти полностью определяется динамикой теплового состояния колонки. Однако простейшие оценки показывают, что характерное время прогрева элементов ЛГМ сравнимо с характерным гидродинамическим временем, поэтому эффект тепловой релаксации должен быть заметен. Последнее указывает на неадекватность моделей 1 и 2 исходному процессу перехода низового пожара в верховой.

Отмеченного недостатка лишены модели 3 и 4. Как показали расчеты, динамика перегрева газовой фазы в них практически такая же, как в задаче о конвективной колонке в открытом пространстве (отличие не более 7%). Что касается к-фазы, то соответствующие кривые (см. рис. 3, а) существенно иные. При этом учет излучения пламени (модель 4) приводит к увеличению до 25% стационарного значения температуры ЛГМ. Приведенные на рис. 3, б кривые сушки элементов ЛГМ в той же наиболее теплонапряженной точке хорошо коррелируют с кривыми нагрева полога (см. рис. 3, а). Более высокому темпу нагрева отвечают более высокие темпы сушки, которая к тому же происходит тем скорее, чем выше температура. Учет теплообмена между фазами (кривые 3, 4) приводит к увеличению в 3–4 раза времени высыхания ЛГМ по отношению к однотемпературной модели 2.

Следовательно, в приближении однотемпературности процесса темпы прогрева ЛГМ в глубину полога леса должны быть заниженными, поскольку в этом случае большая часть тепла тратится на испарение влаги в нижних слоях полога. Этот факт хорошо виден на рис. 3, в, где процесс прогрева ЛГМ отслеживается по положению изотермы  $\Theta_s = 0,33$ , соответствующей температуре кипения воды. Однако отличие от двухтемпературных постановок здесь не очень велико. Более существенно на динамику прогрева ЛГМ влияет количество влаги в пологе, которую необходимо испарить. Об этом говорит резкое отличие линии 1 от 2–4 на рис. 3, б, гораздо ближе она (как и на рис. 3, а) лежит к аналогичной кривой для колонки в открытом пространстве. При этом увеличение теплоемкости среды, связанное с присутствием к-фазы в пологе леса, приводит к замедлению темпов прогрева и уменьшению уровня максимального перегрева среды.

Была предпринята попытка дальнейшего усложнения модели путем учета влажности газовой фазы. Грубые оценки, проведенные в предположении мгновенного испарения влаги из элементов ЛГМ, указывали на возможность заметного изменения результатов. После соответствующих изменений модели 3 проведены расчеты, результаты которых, однако, с графической точностью совпали с результатами расчетов по модели 3.

На примере наиболее полной модели 4 рассмотрим подробнее процесс взаимодействия очага низового пожара с пологом леса. Сравнение рис. 4, а и 2, а показывает, что темпы продвижения тепловой волны в газовой фазе мало отличаются друг от друга, однако при наличии полога уменьшается наполненность профилей перегрева и на нестационарном участке появляется излом кривых на нижней границе полога. Стационарные распределения перегрева на оси симметрии практически совпадают. Следует заметить, что стационарное состояние в случае колонки в открытом пространстве наступает при  $t = 50$ , а при наличии полога (модель 4), если  $t = 80$ , при этом единствено заметно изменяющимся параметром оставалась объемная доля влаги ЛГМ, т. е. в строгом смысле здесь достигалось только квазистационарное состояние. Немонотонная (по времени) динамика профиля вертикальной компоненты скорости на оси (рис. 4, б) также объясняется образованием и последующим вскрытием полуизолированного термика в начальные моменты времени. Немонотонность в газовой фазе приводит к временной немонотонности прогрева к-фазы (рис. 4, в). Любопытно, что если в начальные моменты времени перегрев газовой фазы на нижней кромке полога превышал ана-

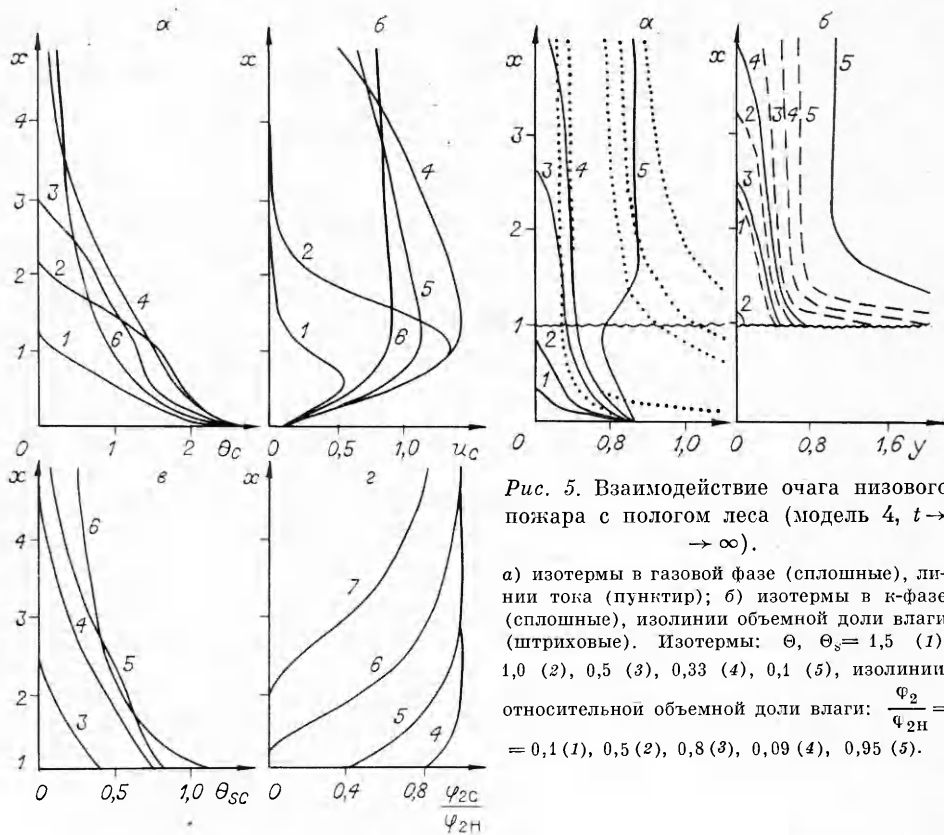


Рис. 4. Динамика профилей на оси колонки (модель 4).  
 а) перегрев газовой фазы; б) вертикальная скорость; в) перегрев к-фазы; г) объемная доля влаги (1—7:  $t = 6,3; 8,3; 10; 16,7; 24,5; 86,1; 275$ ).

логичный перегрев к-фазы (кривые 3, 4), то в дальнейшем ситуация становится противоположной (кривые 6), что, очевидно, объясняется наличием излучения от пламени пожара. Медленнее всего испаряется влага (рис. 4, г), причем из-за уменьшения перегрева к-фазы по высоте темп продвижения фронта испарения падает (ср. интервал времени между кривыми 5—6 и 6—7).

Квазистационарная картина взаимодействия очага низового пожара с пологом (модель 4) представлена на рис. 5. При сравнении рис. 5, а с рис. 2, б видно, что тепловое ядро конвективной колонки в пологе превышает по своим размерам тепловое ядро чистой струи, поскольку элементы ЛГМ, получая дополнительное количество тепла за счет излучения, создают более нагретую среду, в которой горячая конвективная колонка меньше остывает. Периферийные линии тока на рис. 4, а устремляются вверх на большем удалении от очага низового пожара, поскольку нагретые излучением элементы ЛГМ отдают свое тепло подсасываемому окружающему воздуху. Сравнение изотерм газовой и к-фазы (см. рис. 4, а, б) показывает, что в ядре колонки газовая фаза отдает тепло конденсированной (изотермы 3, 4), а на периферии в нижних слоях полога леса — наоборот. Следует отметить, что в основном сушка и нагрев к-фазы происходят внутри вертикальной цилиндрической области, в основании которой находится очаг низового пожара (см. рис. 4, б).

В заключение приведем некоторые выводы. Описание динамики процесса теплового нагружения и сушки полога леса конвективным потоком от очага низового пожара требует привлечения сложных газодинамических моделей, особенно на нестационарном начальном участке, где определяющую роль в формировании течения играет развитие самого очага.

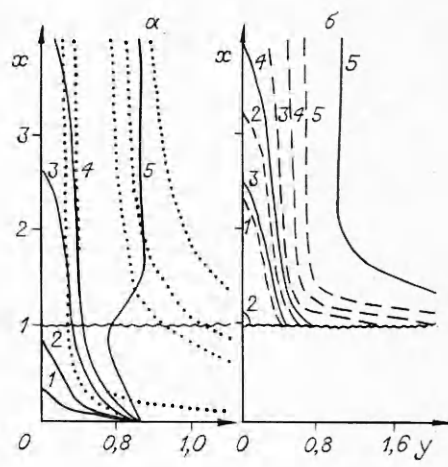


Рис. 5. Взаимодействие очага низового пожара с пологом леса (модель 4,  $t \rightarrow \infty$ ).  
 а) изотермы в газовой фазе (сплошные), линии тока (пунктир); б) изотермы в к-фазе (сплошные), изолинии объемной доли влаги (штриховые). Изотермы:  $\Theta, \Theta_s = 1,5$  (1), 1,0 (2), 0,5 (3), 0,33 (4), 0,1 (5), изолинии относительной объемной доли влаги:  $\frac{\Phi_2}{\Phi_{2H}} = 0,1$  (1), 0,5 (2), 0,8 (3), 0,09 (4), 0,95 (5).

Неучет теплообмена между газовой и к-фазами в пологе леса приводит к существенному (количественному и качественному) изменению результатов, в связи с чем для описания перехода необходимо привлечение уравнения баланса тепла для конденсированной фазы. Учет излучения пламени низового пожара приводит к увеличению темпа прогрева и испарения влаги из ЛГМ и тем самым уточняет временные оценки по переходу низового пожара в верховой. Дальнейшее изучение процесса перехода требует исследования роли основных определяющих параметров (загораживание ЛГМ, высота нижней кромки полога, высота пламени и т. п.), которые в данной работе принимались неизменными.

#### ЛИТЕРАТУРА

1. Гришин А. М. Математические модели лесных пожаров.— Томск: ТГУ, 1980.
2. Гришин А. М. // Механизм распространения лесных пожаров и вопросы внедрения результатов исследований в практику.— Томск: ТГУ, 1984.
3. Гришин А. М., Грузин А. Д., Зверев В. Г. ФГВ, 1985, 21, 1, 11.
4. Конев Э. В. Физические основы горения растительных материалов.— Новосибирск: Наука, 1977.
5. Исаков Р. В. // Лесные пожары и их последствия.— Красноярск: ИЛПД СО АН СССР, 1985.
6. Моршин В. Н. Автореф. дис. ... канд. техн. наук.— Л.: ЛПИ, 1986.
7. Роди В. // Методы расчета турбулентных течений.— М.: Мир, 1984.
8. Зигель Р., Хаузэлл Дж. Теплообмен излучением.— М.: Мир, 1975.
9. Кутателадзе С. С. Основы теории теплообмена.— М.: Атомиздат, 1979.
10. Orlanski I. J. Comp. Phys., 1976, 21, 3, 251.
11. Granville P. J. Ship. Research, 1985, 29, 4, 223.
12. Патанкар С. Численные методы решения задач теплообмена и динамики жидкости.— М.: Энергоатомиздат, 1984.
13. Алексеев Н. Н., Фомин А. А. // Моделирование в механике.— Новосибирск, 1988.— Т. 1(18), № 5.

г. Кемерово

Поступила в редакцию 22/VI 1988,  
после доработки — 27/XI 1988

УДК 546

А. С. Мукасьян, Б. В. Степанов, Ю. А. Гальченко,  
И. П. Боровинская

#### О МЕХАНИЗМЕ СТРУКТУРООБРАЗОВАНИЯ НИТРИДА КРЕМНИЯ ПРИ ГОРЕНИИ КРЕМНИЯ В АЗОТЕ

Горение неорганических соединений отличается высокими значениями и градиентами температур, давлений, малыми характерными временами [1]. Отсутствие удовлетворительных методов экспериментального изучения этих процессов сильно ограничивает возможности исследования механизма горения таких систем.

В настоящей работе сделана попытка анализа механизма физико-химических превращений в волне синтеза при горении кремния в азоте (система Si + N<sub>2</sub>) по результатам последовательного изучения микроструктур исходной шихты, промежуточных и конечных продуктов синтеза. Показано, что на основе исследования эволюции микроструктуры и ее особенностей возможно построение физической модели этого явления.

#### Методика исследований

Характеристики исходных реагентов, способ подготовки шихты и параметры синтеза подробно описаны в [2]. Здесь лишь отметим, что промежуточные состояния реагирующей системы получались «закалкой» путем быстрого (~1 с) удаления газообразного реагента (N<sub>2</sub>) из объема,